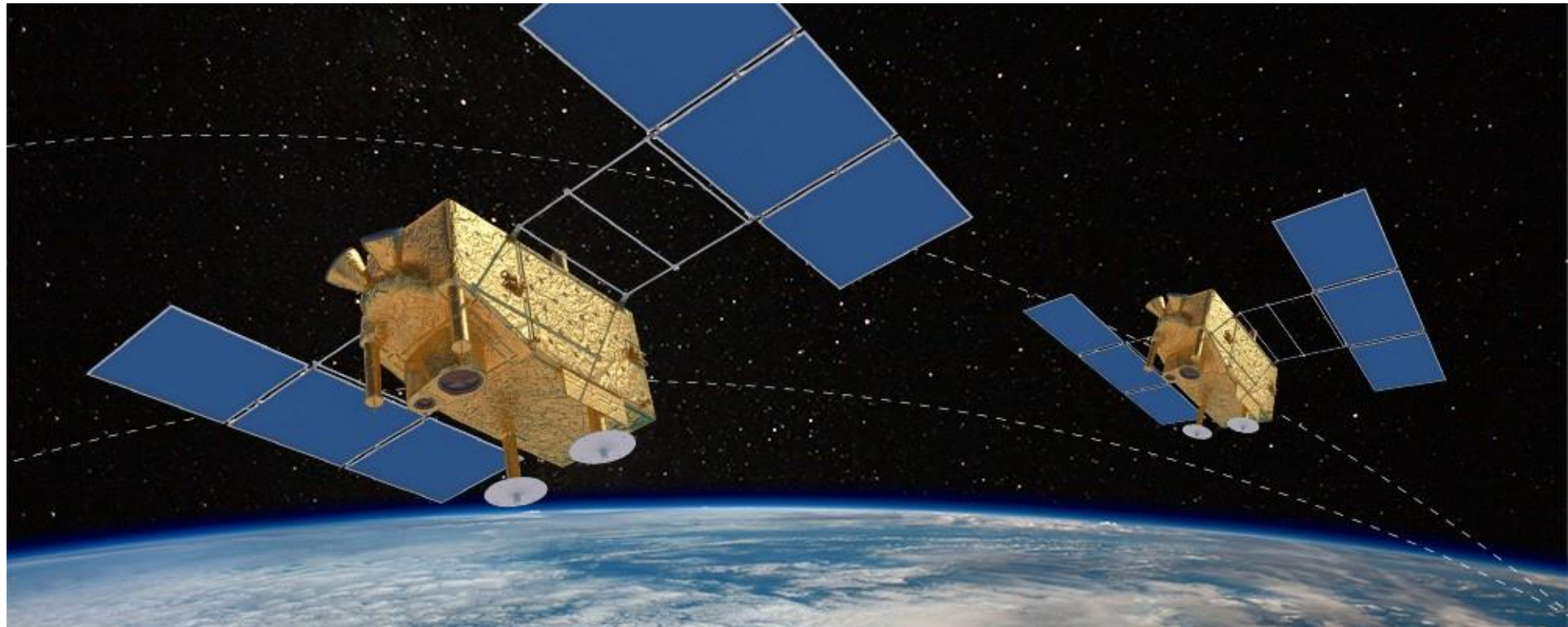


Использование криволинейных координат в модели Швайгхарта-Седвика



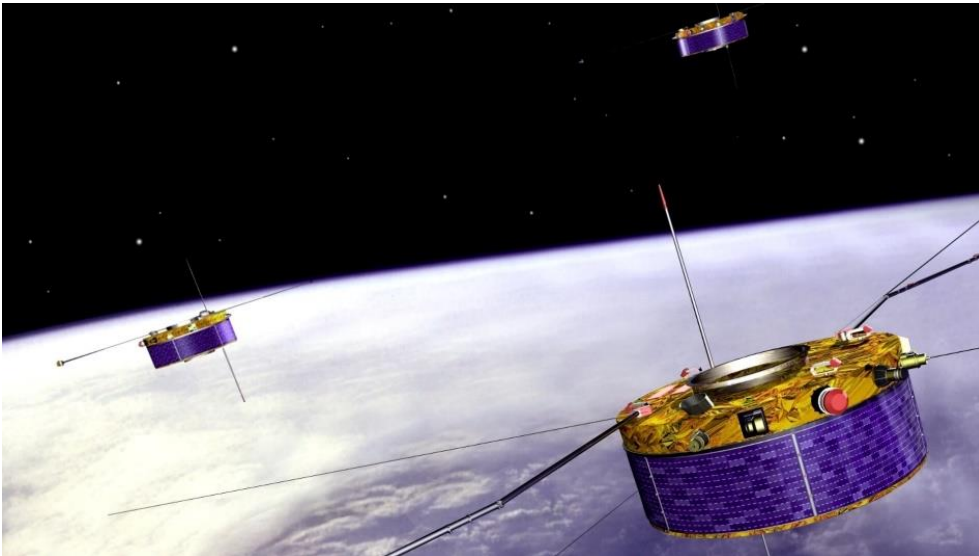
И.А. Сулова, Я.В. Маштаков, С.А. Шестаков

Введение

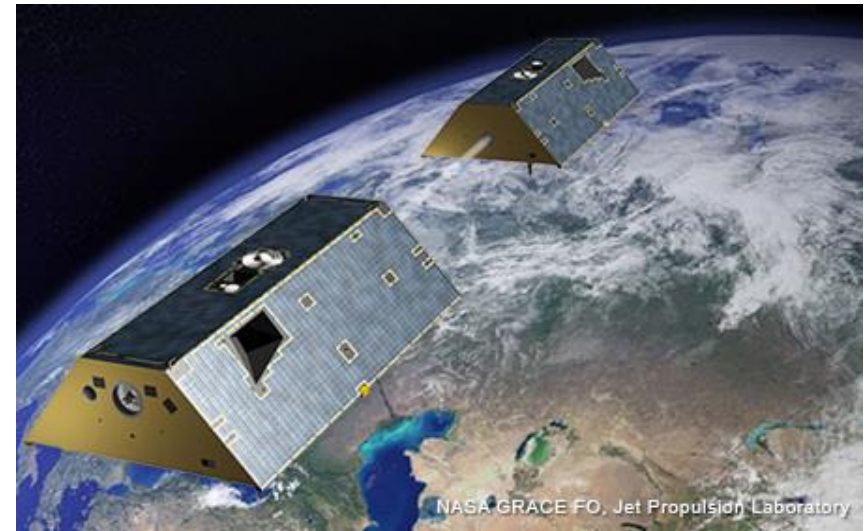
Использование нескольких аппаратов обладает рядом преимуществ

Большая популярность групповых полётов

Необходимость в моделях относительного движения



Cluster II



GRACE-FO



Цель работы

- Получение уравнений Швайгхарта-Седвика (ШС) в криволинейных координатах
- Сравнение модели Швайгхарта-Седвика в криволинейных координатах с моделью в декартовых координатах
- Показать преимущество криволинейных координат над декартовыми

Постановка задачи

Имеется:

- Два аппарата, движущихся по близким низким околокруговым орбитам
- Модель: центральное поле + J_2
- Время моделирования – 24 часа

Необходимо:

- Получить уравнения ШС в криволинейных координатах
- Реализовать модели движения ШС в декартовых и в криволинейных координатах
- Промоделировать движение на нескольких размерах относительных орбит, а также при различных параметрах орбиты главного аппарата
- Промоделировать движение при выборе различных параметров опорной орбиты
- Численно оценить точность каждой модели

Уравнения Швайгарта-Седвика (ШС)

Уравнения в декартовых относительных координатах:

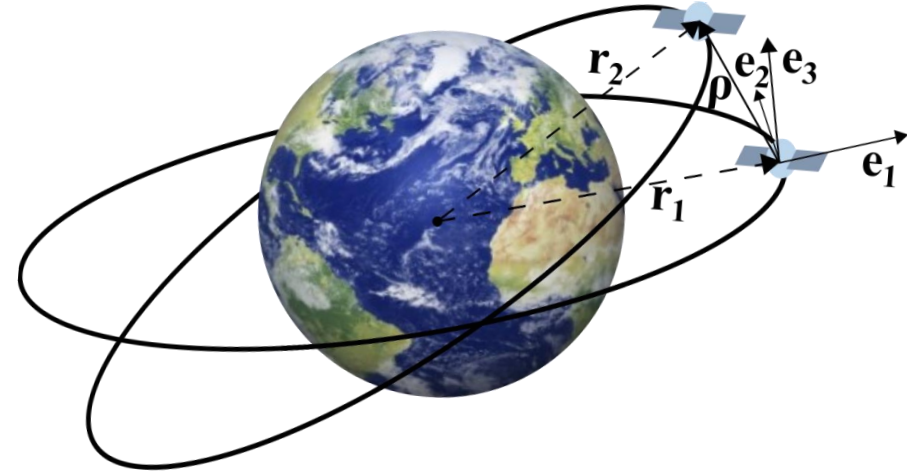
$$\ddot{x} - 2nc\dot{y} - (5c^2 - 2)n^2x = 0,$$

$$\ddot{y} + 2nc\dot{x} = 0,$$

$$\ddot{z} + q^2z = 2lq \cos(qt + \beta).$$

Предположения:

- 1) Модель движения: центральное гравитационное поле и учет второй гармоники гравитационного потенциала J_2
- 2) Орбита главного аппарата является круговой



Идея вывода уравнений Швайгхарта-Седвика в криволинейных координатах

Начальные уравнения движения

$$\ddot{\mathbf{r}} = \mathbf{g}(\mathbf{r}) + \mathbf{J}_2(\mathbf{r}),$$

$$\mathbf{g}(\mathbf{r}) = -\frac{\mu}{r^3} \mathbf{r},$$

$$\mathbf{J}_2(\mathbf{r}) = -(3/2) \left(\frac{J_2 \mu R_e^2}{r^4} \right) [(1 - 3 \sin^2 i \sin^2 \theta) \hat{x} + (2 \sin^2 i \sin \theta \cos \theta) \hat{y} + (2 \sin i \cos i \sin \theta) \hat{z}]$$

Выбирая опорную орбиту под действием потенциала сферической земли с постоянным радиусом и линеаризируя уравнения движения по отношению к опорной орбите, получаем:

$$\ddot{\mathbf{r}} = \mathbf{g}(\mathbf{r}_{ref}) + \nabla \mathbf{g}(\mathbf{r}_{ref}) \cdot (\mathbf{r} - \mathbf{r}_{ref}) + \mathbf{J}_2(\mathbf{r}_{ref}) + \nabla \mathbf{J}_2(\mathbf{r}_{ref}) \cdot (\mathbf{r} - \mathbf{r}_{ref})$$

Идея вывода уравнений Швайгхарта-Седвика в криволинейных координатах

- 1) Усреднение градиента потенциала J_2
- 2) Корректировка периода опорной орбиты
- 3) Корректировка дрейфа долготы восходящего узла
- 4) Корректировка движения вне плоскости

Итого:

$$\ddot{x} - 2(nc)\dot{y} - (5c^2 - 2)n^2 x = -3n^2 J_2 \left(\frac{R_e^2}{r_{ref}} \right) \left[\frac{1}{2} - \left(3 \sin^2 i_{ref} \sin^2(kt) / 2 \right) - \left(\frac{1 + 3 \cos 2i_{ref}}{8} \right) \right]$$

$$\ddot{y} + 2(nc)\dot{x} = -3n^2 J_2 \left(\frac{R_e^2}{r_{ref}} \right) \sin^2 i_{ref} \sin(kt) \cos(kt)$$

$$\ddot{z} + q^2 z = 2lq \cos(qt + \varphi)$$

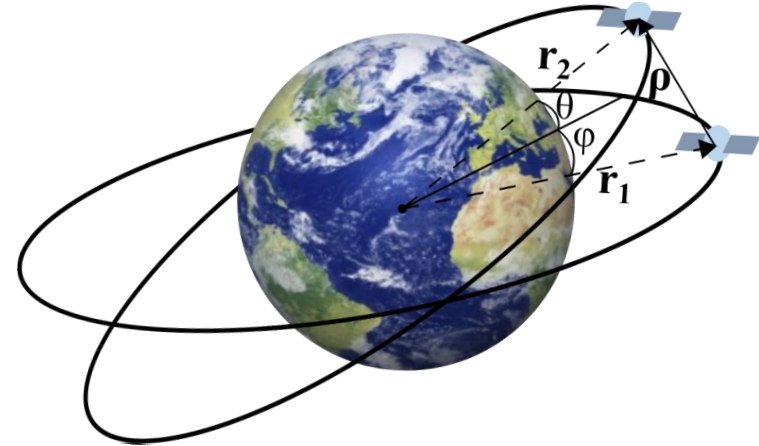
Идея вывода уравнений Швайгхарта-Седвика в криволинейных координатах

- Замена

$$x = (r_{ref} + a) \cos \theta \cos \varphi$$

$$y = (r_{ref} + a) \cos \theta \sin \varphi$$

$$z = (r_{ref} + a) \sin \theta$$



- Линеаризация уравнений при условиях $r_{ref} \gg a$, a, θ, φ -малые величины

$$\ddot{a} - 2(nc)r_{ref}\dot{\varphi} - (5c^2 - 2)n^2a = -3n^2 J_2 \left(\frac{R_e^2}{r_{ref}} \right) \left[\frac{1}{2} - \left(3 \sin^2 i_{ref} \sin^2(kt) / 2 \right) - \left(\frac{1 + 3 \cos 2i_{ref}}{8} \right) \right]$$

$$\ddot{\varphi} + 2(nc)\dot{a} = -3n^2 J_2 \left(\frac{R_e^2}{r_{ref}} \right) \sin^2 i_{ref} \sin(kt) \cos(kt)$$

$$r_{ref} \ddot{\theta} + q^2 r_{ref} \theta = 2lq \cos(qt + \varphi)$$

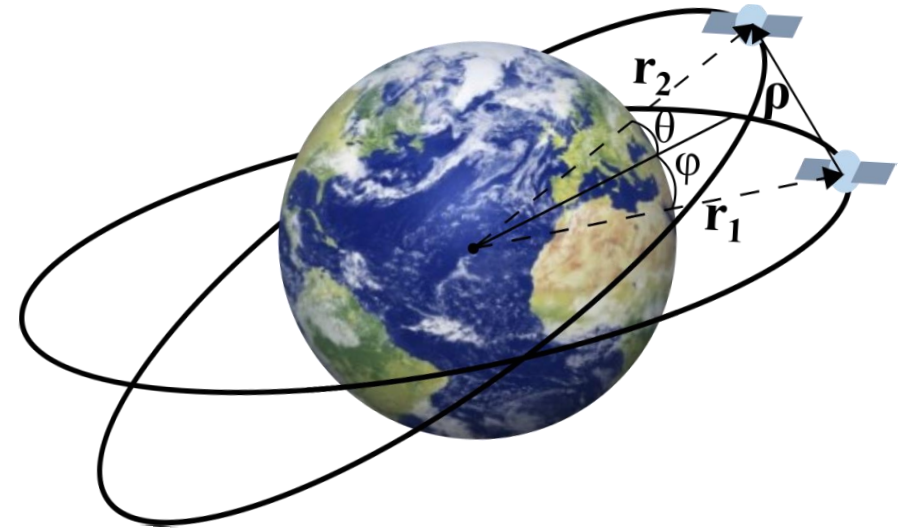
Уравнения Швайгхарта-Седвика в криволинейных координатах

Так как уравнения спутника относительно опорной орбиты получились линейными, то при рассмотрении Движении главного спутника относительно второго спутника, можно вычесть одно уравнение из другого. Тогда Получаем уравнения:

$$\ddot{\rho} - 2ncr_c\dot{\theta} - (5c^2 - 2)n^2\rho = 0,$$

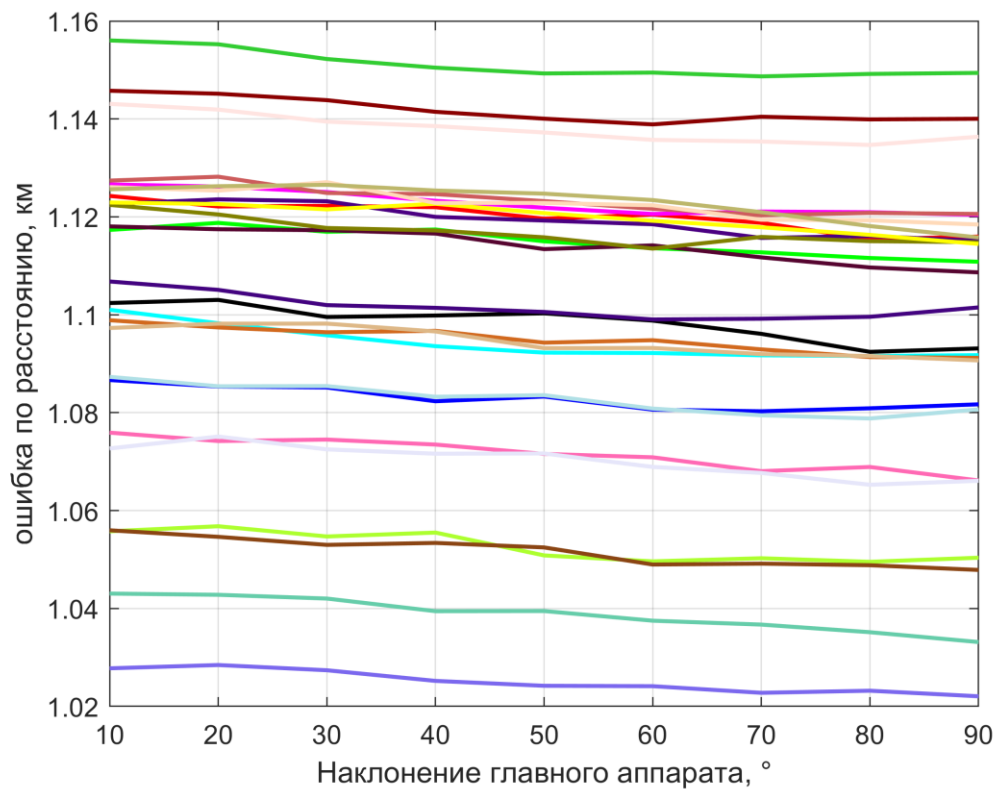
$$r_c\ddot{\theta} + 2nc\rho = 0,$$

$$r_c\ddot{\varphi} + q^2r_c\varphi = 2lq\cos(qt + \beta).$$

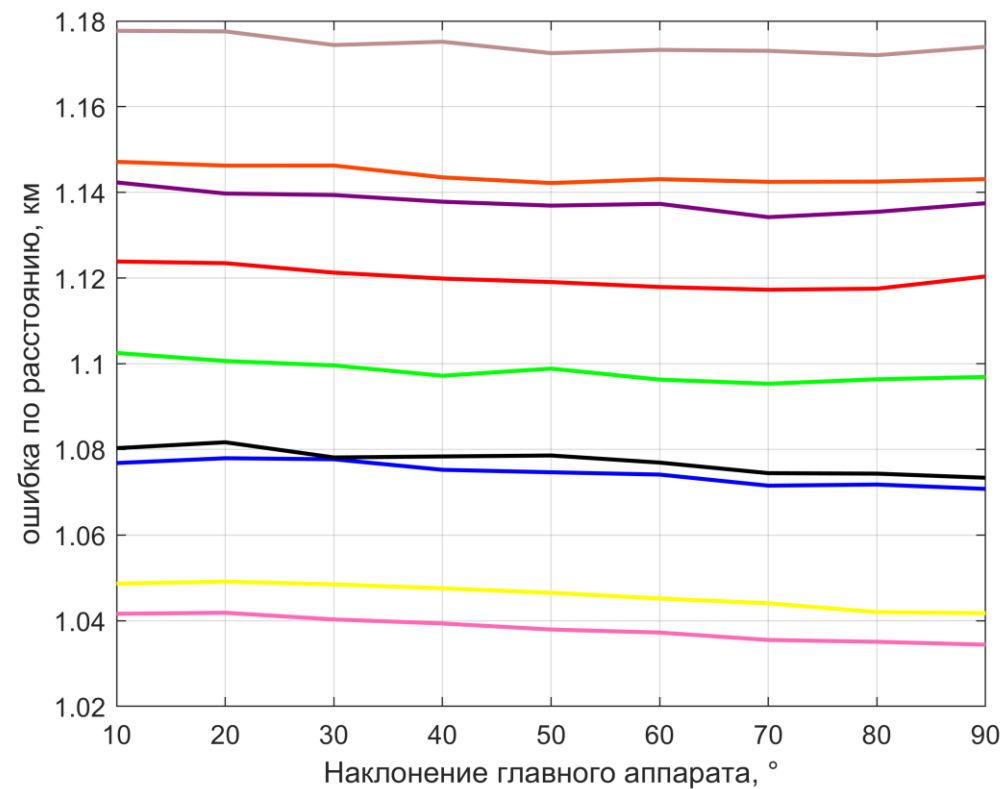


Исследование зависимости результатов от опорной орбиты

Перебирались значения радиуса и наклона опорной орбиты



Наклонение опорной орбиты фиксировано;
радиус перебирался от 6900 до 7100



Радиус опорной орбиты фиксирован;
перебиралось наклонение

Исследование зависимости результатов от опорной орбиты

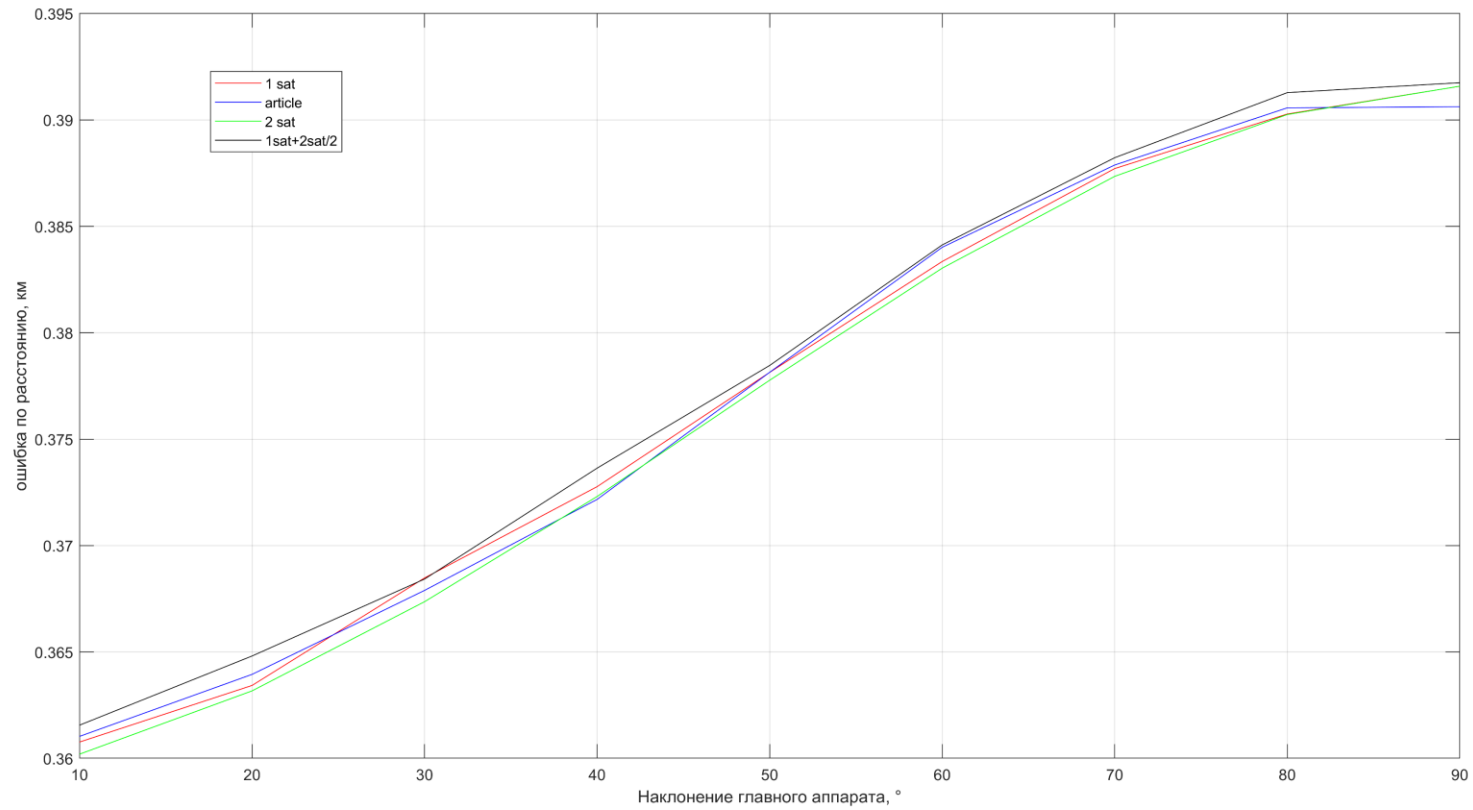
Различные варианты опорной орбиты:

- В качестве опорной орбиты бралась орбита главного спутника
- Наклонение опорной орбиты считалось по формуле:

$$i = i_{ref} - \left(\frac{3\sqrt{\mu} J_2 R_e^2}{2kr^{7/2}} \right) \cos i_{ref} \sin i_{ref}$$

- В качестве опорной орбиты бралась орбита второго спутника
- В качестве параметров опорной орбиты брался средний радиус между первым и вторым спутников, а также среднее наклонение

Исследование зависимости результатов от опорной орбиты



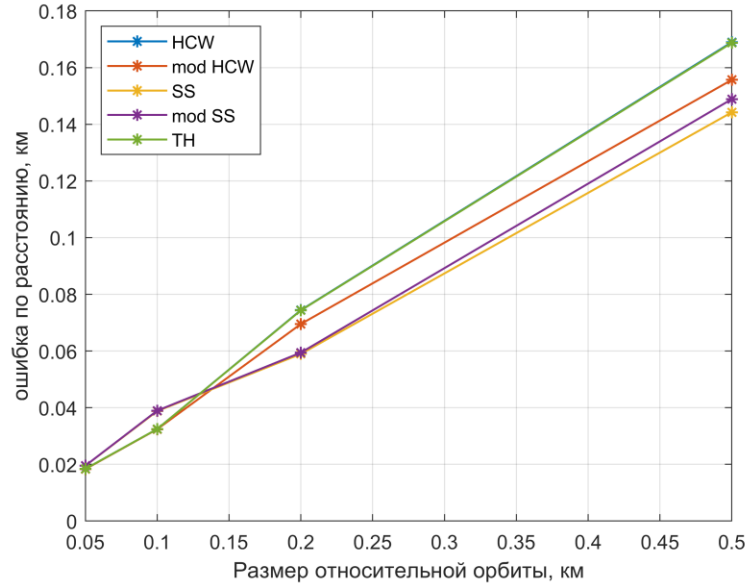
Методика оценивания точности

- Задается размер относительной орбиты
- Задается размер орбиты главного аппарата, получение $\mathbf{r}_1, \mathbf{v}_1$
- С помощью хилловских констант задается относительная орбита, получение начального радиус-вектора и вектора скорости второго аппарата $\mathbf{r}_2, \mathbf{v}_2$
- С помощью метода Монте-Карло получается набор данных: к начальным данным, имитируя ошибку выведения, добавляются случайные величины
- Проводится интегрирование уравнений движений в рамках всех моделей
- Время моделирования – 24 часа.

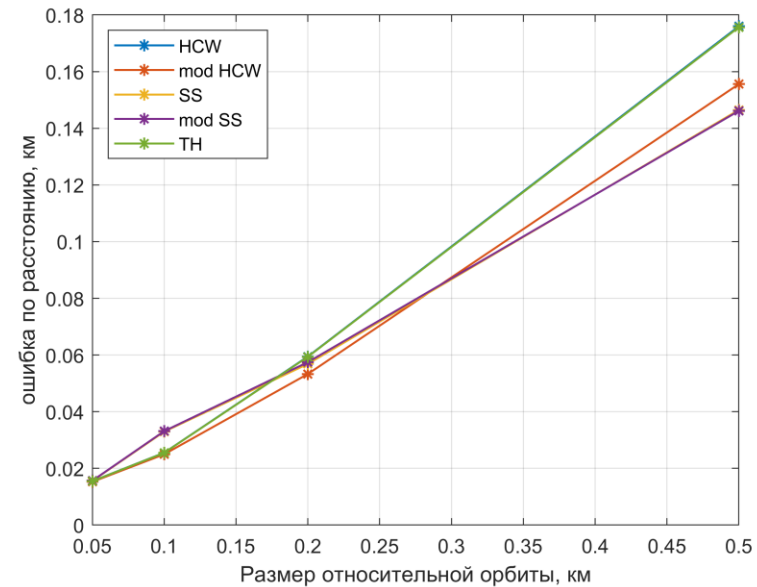
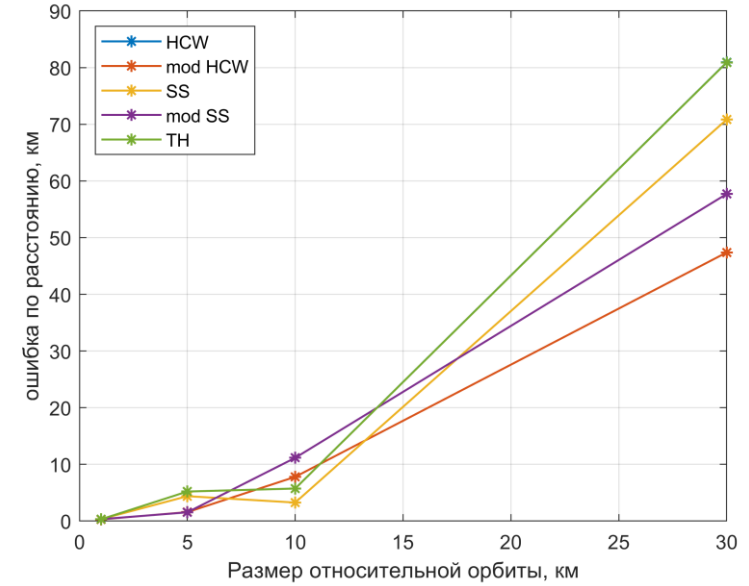
Оценка точности проводится 2 способами:

- 1) На последнем витке усредняется ошибка по расстоянию
- 2) Фиксируется время, когда приближенные уравнения начинают отличаться от полных уравнения движения на заданную величину. В качестве такой величины берется некоторый процент от размера относительной орбиты

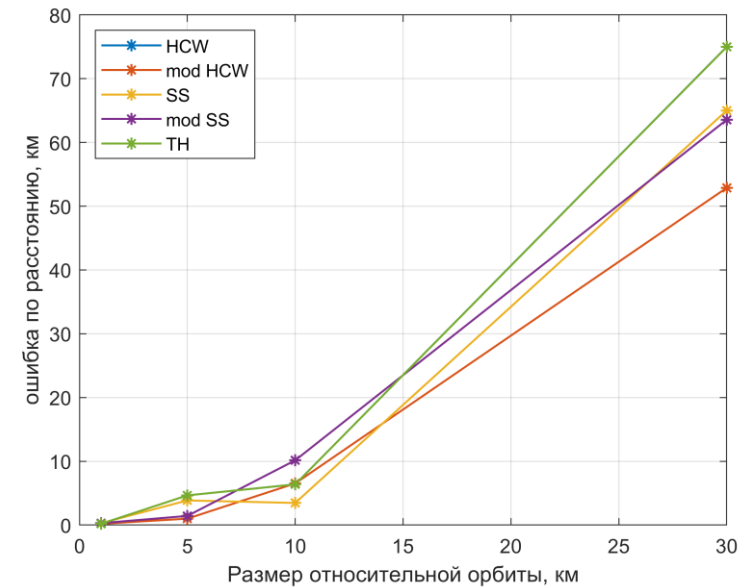
Сравнение моделей



Наклонение 30°
Эксцентриситет 0.01



Наклонение 90°
Эксцентриситет 0.01



	Наклонение орбиты 30°				Наклонение орбиты 90°			
	100 м	500 м	1000 м	5000 м	100 м	500 м	1000 м	5000 м
Уравнения ХКУ	14,12 ч	12,52 ч	13,13 ч	4,91 ч	13,75 ч	10,62 ч	21,05 ч	5,68 ч
Модифицированные уравнения ХКУ	14,27 ч	14,09 ч	13,19 ч	11,56 ч	13,89 ч	11,11 ч	23,33 ч	17,99 ч
Уравнения ШС	10,87 ч	13,54 ч	10,04 ч	4,99 ч	11,35 ч	14,44 ч	13,73 ч	6,43 ч
Модифицированные уравнения ШС	10,62 ч	14,02 ч	11,57 ч	14,73 ч	11,19 ч	15,04 ч	14,68 ч	13,94 ч
Уравнения ШХ	14,15 ч	12,53 ч	13,13 ч	4,91 ч	13,76 ч	10,64 ч	21,05 ч	5,86 ч

Заключение

- Получены уравнения ШС в криволинейных координатах
- Протестированы модели ШС в декартовых координатах и в криволинейных координатах в зависимости от выбора опорной орбиты
- Для малых размеров относительных орбит (до километра) возможно использование любой из моделей (ХКУ, ШС, ШХ) в случае, когда оценка точности происходит по относительному расстоянию между спутниками
- На достаточно больших размерах относительных орбит целесообразно использовать уравнения движения в криволинейных координатах в случае, когда оценка точности происходит по относительному расстоянию между спутниками

Дальнейшая работа

- Написание магистерской диссертации
- Рассмотрение опорной орбиты, полученной из осредненных элементов орбиты главного спутника
- Аналитический вывод опорной орбиты, минимизирующей ошибку
- Оценка точности по характеристикам относительной орбиты, а не по относительному расстоянию

Константы для уравнений Швайгхарта-Седвика

$$s = \frac{3J_2 R_e^2}{8r_{ref}^2} (1 + 3 \cos 2i_{ref}),$$

$$c = \sqrt{1 + s},$$

$$n = \sqrt{\frac{\mu}{r_{ref}^3}},$$

$$k = nc + \frac{3nJ_2 R_e^2}{2r_{ref}^2} \cos^2 i_{ref},$$

$$i_{sat1} = \frac{\Delta \dot{z}_0}{kr_{ref}} + i_{sat2},$$

$$\Delta \Omega_0 = \frac{\Delta z_0}{r_{ref} \sin i_{ref}},$$

$$\gamma_0 = \cot^{-1} \left[\frac{\cot i_{sat2} \sin i_{sat1} - \cos i_{sat1} \cos \Delta \Omega_0}{\sin \Delta \Omega_0} \right],$$

$$\Phi_0 = \cos^{-1} [\cos i_{sat1} \cos i_{sat2} + \sin i_{sat1} \sin i_{sat2} \cos \Delta \Omega_0],$$

$$\dot{\Omega}_{sat1} = -\frac{3nJ_2 R_e^2}{2r_{ref}^2} \cos i_{sat1},$$

$$\dot{\Omega}_{sat2} = -\frac{3nJ_2 R_e^2}{2r_{ref}^2} \cos i_{sat2},$$

$$q = nc - (\cos \gamma_0 \sin \gamma_0 \cot \Delta \Omega_0 - \sin^2 \gamma_0 \cos i_{sat1}) (\dot{\Omega}_{sat1} - \dot{\Omega}_{sat2}) - \dot{\Omega}_{sat1} \cos i_{sat1},$$

$$l = -r_{ref} \frac{\sin i_{sat1} \sin i_{sat2} \sin \Delta \Omega_0}{\sin \Phi_0} (\dot{\Omega}_{sat1} - \dot{\Omega}_{sat2}),$$

$$m \sin \varphi = \Delta z_0,$$

$$l \sin \varphi + qm \cos \varphi = \Delta \dot{z}_0.$$